

УДК 539.3

О ВЫНУЖДЕННЫХ КОЛЕБАНИЯХ ПРЯМОУГОЛЬНОЙ ПЛАСТИНКИ
 С УЧЕТОМ ВРАЩАТЕЛЬНОГО ДВИЖЕНИЯ

Մկրտչյան Կ.Տ.

Կ. Տ. Մկրտչյան

Պետական շարժման հաշվառումով ուղղանկյուն սալի հարկադրական տատանման մասին

Հետազոտվում է առաձգական, իզոտրոպ, երակզմով ազատ հենված սալի հարկադրական տատանումները նորմալ, կենտրոնացված, ըստ ժամանակի պայթերական ուժի ազդեցության տակ: Խնդիրը լուծվում է [1]-ում շարադրված մեթոդով, օգտագործելով կոնքրետացված պայմաններ, որը ներառում է սալի մակերևույթին դիմախիկ ազդեցությունը և ուժի ազդեցության կետի նկատմամբ պտտական շարժումը նշված կետով անցնող, սալի միջին մակերևույթին ուղղահայաց տարբեր հարթությունների մեջ: Գիտարկվող խնդրի լուծումը կատարվում է սեյսիական տատանման ձևերի կրկնակի շարքերի տեսքով: Մալի համար ստացված են երկու տիպի հարկադրական տատանումներ և նոր ռեզոնանսային համախառնություններ: Հաշվարկների բվային արդյունքները բերված են գրաֆիկների տեսքով և ստացված արդյունքների համար կատարված է անալիզ:

K. Sh. Mkrtchyan

On forced vibrations of the rectangular plate with regard to the rotational motion

Исследуются вынужденные колебания упругой, изотропной, шарнирно-опертой пластинки под действием нормальной, сосредоточенной, периодической во времени, силы. Задача решается методом, предложенным в [1], с использованием комбинированных условий, включающих динамическое воздействие на поверхность пластинки и вращательное движение относительно точки приложения силы в различных плоскостях, перпендикулярных срединной плоскости пластинки и проходящих через вышеуказанную точку. Используемый метод позволяет решать широкий класс краевых задач, в частности, он может быть применен для решения задач изгибных колебаний упругой прямоугольной пластинки при различного рода нагрузках и граничных условиях. Решение поставленной задачи строится в виде двойных рядов собственных форм колебаний. Получены два типа вынужденных колебаний и новые резонансные частоты для пластинки. Численные результаты расчетов приведены в виде графиков и дан анализ полученных результатов.

Рассмотрим вынужденные колебания упругой, изотропной, шарнирно-опертой по контуру прямоугольной пластинки с размерами a, b, h , вызванные нормальной, сосредоточенной, во времени, периодической силой, приложенной в точке $x_1 = c_1, x_2 = c_2$. Вынужденные колебания пластинки, отнесенные к декартовой системе координат $Ox_1x_2x_3$ (оси x_1, x_2 расположены в срединной плоскости), с учетом эффектов поперечного сдвига и инерции вращения описывается следующими уравнениями и граничными условиями [2]:

$$\begin{aligned}
 D \left[(1-\nu)\Delta\psi_1 + (1+\nu)\frac{\partial\Phi_1}{\partial x_1} \right] - 2k^2 Gh \left(\psi_1 + \frac{\partial w_1}{\partial x_1} \right) &= 2\rho J \frac{\partial^2 \psi_1}{\partial t^2} \\
 D \left[(1-\nu)\Delta\varphi_1 + (1+\nu)\frac{\partial\Phi_1}{\partial x_2} \right] - 2k^2 Gh \left(\varphi_1 + \frac{\partial w_1}{\partial x_2} \right) &= 2\rho J \frac{\partial^2 \varphi_1}{\partial t^2} \\
 k^2 Gh(\Delta w_1 + \Phi_1) - \rho h \frac{\partial^2 w_1}{\partial t^2} &= q\delta(x_1 - c_1)\delta(x_2 - c_2)\sin \omega t
 \end{aligned}
 \tag{1}$$

$$(x_1 = 0, b) \quad w_1 = 0, \quad M_{x_1} = 0, \quad \varphi_1 = 0 \quad (2)$$

$$(x_2 = 0, a) \quad w_1 = 0, \quad M_{x_2} = 0, \quad \psi_1 = 0$$

где

$$M_{x_1} = D \left(\frac{\partial \psi_1}{\partial x_1} + \nu \frac{\partial \varphi_1}{\partial x_2} \right), \quad M_{x_2} = D \left(\nu \frac{\partial \psi_1}{\partial x_1} + \frac{\partial \varphi_1}{\partial x_2} \right), \quad \Phi_1 = \frac{\partial \psi_1}{\partial x_1} + \frac{\partial \varphi_1}{\partial x_2}$$

$D = \frac{2Eh^3}{3(1-\nu^2)}$ — цилиндрическая жесткость; ν, ρ, E, G — соответственно: коэффициент Пуассона, плотность материала и модули упругости при растяжении и сдвиге.

J — момент инерции поперечного сечения; k^2 — численный коэффициент; Δ — оператор Лапласа; $\delta(\xi)$ — дельта-функция, q — амплитуда силы; w_1 — прогиб пластинки; ψ_1, φ_1 — средние по толщине углы поворота элемента относительно осей x_1 и x_2 .

Граничные условия (2) будут удовлетворены, если решение системы (1) представить в виде двойных тригонометрических рядов

$$\begin{aligned} w_1 &= \sum_{m,n=1}^{\infty} f_{mn} \sin \frac{m\pi x_1}{b} \sin \frac{n\pi x_2}{a} \sin \omega t \\ \psi_1 &= \sum_{m,n=1}^{\infty} c_{1mn} \cos \frac{m\pi x_1}{b} \sin \frac{n\pi x_2}{a} \sin \omega t \\ w_2 &= \sum_{m,n=1}^{\infty} c_{2mn} \sin \frac{m\pi x_1}{b} \cos \frac{n\pi x_2}{a} \sin \omega t \end{aligned} \quad (3)$$

Подставляя значения w_1, ψ_1, φ_1 из (3) в систему уравнений (1), для искомого коэффициентов f_{mn}, c_{1mn}, c_{2mn} получаем

$$\begin{aligned} f_{mn} &= -\frac{4q}{ab} \frac{\rho h}{k_{mn}^2 - \beta_{mn} \omega^2 + c \omega^4} + \sqrt{\frac{D}{\rho h}} \frac{k_{mn}}{k^2 Gh} \sin \frac{m\pi c_1}{b} \sin \frac{n\pi c_2}{a} \\ c_{1mn} &= \frac{m\pi}{b} \alpha_{mn}, \quad c_{2mn} = \frac{n\pi}{a} \alpha_{mn}, \quad c = \frac{\rho J}{k^2 Gh} \\ \alpha_{mn} &= \frac{2k^2 Gh f_{mn} - D(1+\nu) d_{mn}}{2\rho J \omega^2 - (1-\nu) \sqrt{D \rho h} k_{mn} - 2k^2 Gh} \\ d_{mn} &= \left(\sqrt{\frac{\rho h}{D}} k_{mn} - \frac{\rho \omega^2}{k^2 G} \right) f_{mn} - \frac{4q}{ab k^2 Gh} \sin \frac{m\pi c_1}{b} \sin \frac{n\pi c_2}{a} \\ \beta_{mn} &= 1 + \sqrt{\frac{\rho h}{D}} \left(\frac{D}{k^2 Gh} + \frac{J}{h} \right) k_{mn}, \quad k_{mn} = \pi^2 \sqrt{\frac{D}{\rho h}} \left(\frac{m^2}{b^2} + \frac{n^2}{a^2} \right) \end{aligned}$$

Отметим, что система уравнений (1) обладает волновыми свойствами [3] и допускает решения в виде движения волн изгиба и волн сдвига в пластинке. Из условия непрерывности угла поворота элемента пластинки на фронте волны изгиба [3] невозбужденная часть осуществляет вращательное движение. Получается, что точки пластинки внутренней части фронта волны изгиба будут упруго колебаться, а внешняя часть будет вращаться. Для изучения вращательного движения пластинки необходимо выделить упругие колебания точек пластинки. Это можно получить,

если фиксировать распространение волны изгиба относительно точки приложения силы. В этом случае $w_1=0$, а влияние вращательного движения на невозбужденные части пластинки переместится в неподвижную точку приложения силы. Отсюда очевидно, что прямая линия, проходящая от неподвижной точки к краю пластинки по направлению φ (φ – полярный угол в неподвижной точке приложения силы), будет совершать вращательные движения по закону $\theta(t, \varphi)$ в плоскости, перпендикулярной к пластинке, проходящей через эту линию (θ – угол поворота элемента пластинки на фронте волны изгиба). Можно исследовать вращательное движение линии по направлению φ , если по тому же закону и в той же плоскости вращать пластинку вокруг оси, проходящей через неподвижную точку и перпендикулярно к этой плоскости, приложив к неподвижной точке вращательный момент $M(t, \varphi)$. Отсюда получим точки на линии, которые по направлению φ совершают новые упругие колебания. Для получения упругих колебаний других точек следует изменять параметр φ в пределах $0 + 2\pi$. Отметим, что в случае распространения волны изгиба в пластинке, при ее вращательном движении, она приводит края пластинки к неподвижным положениям. В этом случае краевые условия пластинки во время его вращательного движения будут соответствовать условиям первой задачи.

Линейное интегро-дифференциальное уравнение вращательного движения пластинки в вертикальной плоскости по направлению φ и система уравнений упругих вынужденных поперечных колебаний на основе [4] имеют вид:

$$\rho h \iint_{\Omega} x_1' (x_1'' \ddot{\theta} + \ddot{w}_2) d\Omega = M - \rho g h \iint_{\Omega} (x_1' \cos \theta - w_2 \sin \theta) d\Omega \quad (4)$$

$$D \left\{ (1-\nu) \Delta \psi_2 + (1+\nu) \frac{\partial \Phi_2}{\partial x_1} \cos \varphi + (1+\nu) \frac{\partial \Phi_2}{\partial x_2} \sin \varphi \right\} -$$

$$- 2k^2 Gh \left[\psi_2 + \frac{\partial w_2}{\partial x_1} \cos \varphi + \frac{\partial w_2}{\partial x_2} \sin \varphi \right] = 2\rho J \frac{\partial^2 \psi_2}{\partial t^2}$$

$$D \left\{ (1-\nu) \Delta \varphi_2 - (1+\nu) \frac{\partial \Phi_2}{\partial x_1} \sin \varphi + (1+\nu) \frac{\partial \Phi_2}{\partial x_2} \cos \varphi \right\} -$$

$$- 2k^2 Gh \left[\varphi_2 - \frac{\partial w_2}{\partial x_1} \sin \varphi + \frac{\partial w_2}{\partial x_2} \cos \varphi \right] = 2\rho J \frac{\partial^2 \varphi_2}{\partial t^2} \quad (5)$$

$$k^2 Gh (\Delta w_2 + \Phi_2) - \rho h \frac{\partial^2 w_2}{\partial t^2} = -\rho h (x_1'' \ddot{\theta} + g \cos \varphi)$$

с граничными условиями

$$(x_1 = 0, b; \varphi = 0) \quad w_2 = 0, \quad M_{x_1} = 0, \quad \varphi_2 = 0$$

$$(x_2 = 0, a; \varphi = \pi/2) \quad w_2 = 0, \quad M_{x_2} = 0, \quad \psi_2 = 0 \quad (6)$$

Здесь

$$x_1' = (x_1 - c_1) \cos \varphi + (x_2 - c_2) \sin \varphi$$

$$\theta = (\psi_1 \cos \varphi + \varphi_1 \sin \varphi) \Big|_{x_1=c_1}^{x_1=x_1'}$$

$$x_1^* = \begin{cases} (vt - 2jd) \cos \varphi + c_1 & \text{при } t > 2jd/v \\ [2(j+1)d - vt] \cos \varphi + c_1 & \text{при } t < 2(j+1)d/v \end{cases}$$

$$x_2^* = \begin{cases} (vt - 2jd) \sin \varphi + c_2 & \text{при } t > 2jd/v \\ [2(j+1)d - vt] \sin \varphi + c_2 & \text{при } t < 2(j+1)d/v \end{cases}$$

$$(j = 0, 1, \dots)$$

при $t > 2jd/v$

$$\ddot{\theta} = - \sum_{m,n=1}^{\infty} \frac{g\alpha_{mn}}{ab} \{ a_{mn}(\varphi) [\theta'_{mn}(\varphi) - \theta''_{mn}(\varphi)] - a_{mn}(-\varphi) [\theta'_{mn}(-\varphi) - \theta''_{mn}(-\varphi)] \}$$

$$\theta'_{mn}(\varphi) = [\omega - a_{mn}(\varphi)v]^2 \cos[(\omega - a_{mn}(\varphi)v)t + b_{mn}(\varphi)]$$

$$\theta''_{mn}(\varphi) = [\omega + a_{mn}(\varphi)v]^2 \cos[(\omega + a_{mn}(\varphi)v)t - b_{mn}(\varphi)]$$

$$a_{mn}(\varphi) = \frac{m\pi}{b} \cos \varphi + \frac{n\pi}{a} \sin \varphi, \quad v = \sqrt{\frac{E}{\rho(1-v^2)}}$$

$$b_{mn}(\pm\varphi) = 2jda_{mn}(\pm\varphi) + \frac{m\pi c_1}{b} \pm \frac{n\pi c_2}{a}$$

v — скорость распространения волны изгиба по пластинке, d определяется при численных расчетах.

Решение системы (5) (без учета собственного веса) при $t > 2jd/v$ представим в виде

$$w_2 = \sum_{m,n=1}^{\infty} [f_{1mn}(\varphi)\theta'_{mn}(\varphi, t) + f_{2mn}(\varphi)\theta''_{mn}(\varphi, t) + f_{3mn}(\varphi)\theta'_{mn}(-\varphi, t) +$$

$$+ f_{4mn}(\varphi)\theta''_{mn}(-\varphi, t)] \sin \frac{m\pi x_1}{b} \sin \frac{n\pi x_2}{a}$$

$$\psi_2 = \sum_{m,n=1}^{\infty} \left[A_{11mn}(\varphi)\theta'_{mn}(\varphi, t) + A_{12mn}(\varphi)\theta''_{mn}(\varphi, t) + \right. \\ \left. + A_{13mn}(\varphi)\theta'_{mn}(-\varphi, t) + A_{14mn}(\varphi)\theta''_{mn}(-\varphi, t) \right] \cos \varphi \cos \frac{m\pi x_1}{b} \sin \frac{n\pi x_2}{a} +$$

$$+ \sum_{m,n=1}^{\infty} \left[A_{21mn}(\varphi)\theta'_{mn}(\varphi, t) + A_{22mn}(\varphi)\theta''_{mn}(\varphi, t) + \right. \\ \left. + A_{23mn}(\varphi)\theta'_{mn}(-\varphi, t) + A_{24mn}(\varphi)\theta''_{mn}(-\varphi, t) \right] \sin \varphi \sin \frac{m\pi x_1}{b} \cos \frac{n\pi x_2}{a} \quad (7)$$

$$\varphi_2 = \sum_{m,n=1}^{\infty} \left[B_{11mn}(\varphi)\theta'_{mn}(\varphi, t) + B_{12mn}(\varphi)\theta''_{mn}(\varphi, t) + \right. \\ \left. + B_{13mn}(\varphi)\theta'_{mn}(-\varphi, t) + B_{14mn}(\varphi)\theta''_{mn}(-\varphi, t) \right] \cos \varphi \sin \frac{m\pi x_1}{b} \cos \frac{n\pi x_2}{a} +$$

$$+ \sum_{m,n=1}^{\infty} \left[B_{21mn}(\varphi)\theta'_{mn}(\varphi, t) + B_{22mn}(\varphi)\theta''_{mn}(\varphi, t) + \right. \\ \left. + B_{23mn}(\varphi)\theta'_{mn}(-\varphi, t) + B_{24mn}(\varphi)\theta''_{mn}(-\varphi, t) \right] \sin \varphi \cos \frac{m\pi x_1}{b} \sin \frac{n\pi x_2}{a}$$

которая удовлетворяет всем условиям шарнирно-опертой по всему контуру прямоугольной пластинки. Подставляя значения w_2 , ψ_2 , φ_2 в систему уравнений (5), для искоемых коэффициентов $f_{i\alpha}, A_{1i\alpha}, A_{2i\alpha}, B_{1i\alpha}, B_{2i\alpha}$ ($i = 1 \div 4$) получаем выражения, которые здесь приводятся только для коэффициентов $f_{i\alpha}$. Остальные ввиду их громоздкости не приводятся.

$$f_{1mn}(\varphi) = -D_{mn} [d_{mn}^-(\varphi) - 1] \alpha_{mn}(\varphi) l_{mn}^-(\varphi), \quad f_{3mn}(\varphi) = -f_{1mn}(-\varphi)$$

$$f_{2mn}(\varphi) = D_{mn} [d_{mn}^+(\varphi) - 1] \alpha_{mn}(\varphi) l_{mn}^+(\varphi), \quad f_{4mn}(\varphi) = -f_{2mn}(-\varphi)$$

$$d_{mn}^{\pm}(\varphi) = \frac{J\rho}{k^2 Gh} [\omega \pm a_{mn}(\varphi)v]^2$$

$$D_{mn} = \frac{4q\alpha_{mn}}{abm\pi^2} \left\{ [(c_1 - b)\cos m\pi - c_1](1 - \cos n\pi)\cos\varphi + \right. \\ \left. + [(c_2 - a)\cos n\pi - c_2](1 - \cos m\pi)\sin\varphi \right\} \sin \frac{m\pi c_1}{b} \sin \frac{n\pi c_2}{a}$$

$$l_{mn}^{\pm}(\varphi) = \left\{ k_{mn}^2 - \beta_{mn} [\omega \pm a_{mn}(\varphi)v]^2 + c [\omega \pm a_{mn}(\varphi)v]^2 \right\}^{-1}$$

Вынужденные колебания при $t < 2(j+1)d/v$ можно получить с помощью формулы (7), заменив j и v на $-(j+1)$ и $-v$.

Новые резонансные частоты ω_2 определяются из условий $[l_{mn}^{\pm}(\pm\varphi)]^{-1} = 0$ и имеют вид

$$\omega_{mni} = \pm \gamma_{mni} \pm a_{mni}(\pm\varphi)v \quad (i=1,2)$$

$$\gamma_{mni} = (2c)^{-1/2} \sqrt{\beta_{mni} + (-1)^{i-1} \sqrt{\beta_{mni}^2 - 4ck_{mni}^2}}$$

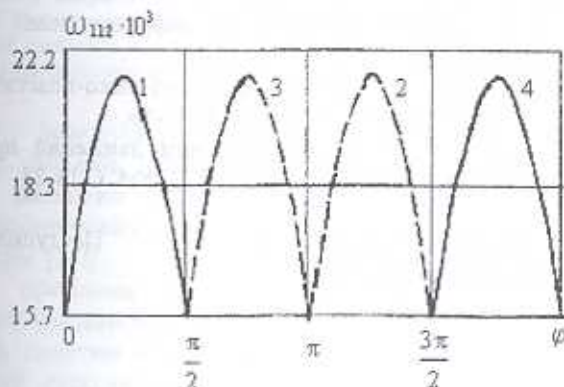
Чтобы вращательное движение пластинки и полученные резонансные частоты были совместимы, необходимы тригонометрические функции, описывающие указанные частоты по величине и по знаку, соответствовали направляющим косинусам (изменения параметра φ в каждой четверти), направления вращения пластинки.

Рассмотрим в качестве конкретного примера пластинку со следующими параметрами:

$$a=100 \text{ см}, \quad b=100 \text{ см}, \quad c_1=30 \text{ см}, \quad c_2=20 \text{ см}, \quad v=0,3, \quad E=2 \times 10^6 \text{ Кг/см}^2, \quad \rho=7,8 \times 10^{-3} \text{ Кг/см}^3,$$

$$h=0,25 \text{ см}, \quad q=8 \text{ Кг}, \quad \omega=10 \text{ с}^{-1}.$$

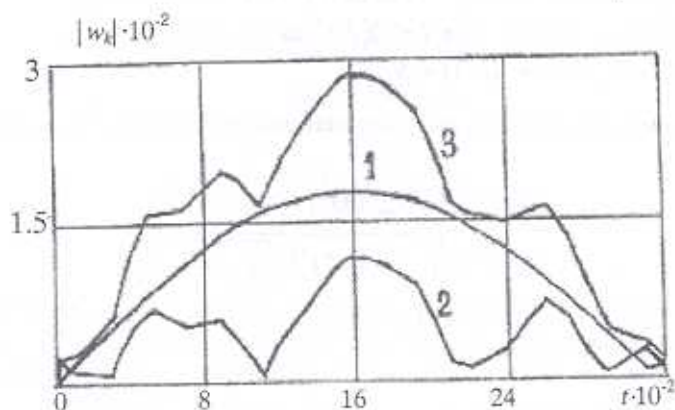
На фиг.1 показана зависимость резонансных частот ω_{112} от параметра φ . Сплошными линиями показаны кривые 1, 4, соответствующие резонансным частотам ω_{112} при $\omega_{112} = \gamma_{112} + a_{11}(\pm\varphi)v$. Штриховыми линиями показаны кривые 2, 3, соответствующие ω_{112} при $\omega_{112} = \gamma_{112} - a_{11}(\pm\varphi)v$.



Фиг. 1

Видно, что с увеличением параметра φ , значение ω_{112} сначала возрастает, достигая своего максимального значения, а затем начинает убывать.

Наибольшей величины ω_{112} достигает при значениях $\varphi = \frac{\pi}{4}, \frac{3\pi}{4}, \dots$. Для $\omega_{112} = -\gamma_{112} \pm a_{11}(\pm\varphi)v$ получаются аналогичные графики, а для случая $\omega_{111} = \pm\gamma_{111} \pm a_{11}(\pm\varphi)v$ получаются большие значения. На фиг. 2 приведены численные расчеты для двух типов вынужденных колебаний пластинки в зависимости от времени при $x_1 = \frac{b}{2}, x_2 = \frac{a}{2}, \varphi = \text{arctg} \frac{a-2c_2}{b-2c_1}$.



Фиг. 2

Кривые 1, 2 представляют прогибы $|w_1|$ и $|w_2|$, рассчитанные, соответственно, по формулам (3) и (7). Кривая 3 представляет $|w_3| = |w_1 + w_2|$. Видно, что значения прогиба $|w_3|$ больше $|w_1|, |w_2|$.

ЛИТЕРАТУРА

1. Мкртчян К. Ш. О двойственном характере поперечных колебаний упругого стержня // ПММ, 1999, Т.63, №6, С.1055-1058.
2. Селезов И. Т. Моделирование волновых и дифракционных процессов в сплошных средах. Киев: Наукова думка, 1989. 204с.
3. Никитин Л. В. Распространение поперечных упруго-вязко-пластических волн в балках и пластинах. // Инж. Сборник. 1960, Т.30, С.31-46.
4. Гукасян А. А., Саркисян С. В. О колебательном движении прямоугольной пластинки // Изв. АН АрмССР. Механика. 1990, Т.43, №4, С.13-23.

Институт Геофизики и инженерной сейсмологии
имени акад. А. Г. Назарова НАН Армении

Поступила в редакцию
22.04.2003